Дробно-степенные ПИД-регуляторы и пути их упрощения с повышением эффективности управления

Вадим Жмудь^{1, 2}, Александр Заворин²

¹ Новосибирский государственный университет, Новосибирск, Россия

² Новосибирский государственный технический университет, Новосибирск, Россия оао nips@bk.ru

Аннотация. Исследуется возможность более лостижения простым регулятором соизмеримых или лучших результатов сравнении с известным изощренным методом синтеза ПИ¹Д⁴-регуляторов, более сложных, чем широко известные и повсеместно применяемые ПИД-регуляторы. результате продемонстрирована возможность достижения лучших результатов более простым путем ²

Ключевые слова: численная оптимизация, регуляторы, автоматика, моделирование, динамика систем, точность управления

ПОСТАНОВКА ЗАДАЧИ И МЕТОДЫ ЕЕ РЕШЕНИЯ

Управление динамическими объектами в замкнутом контуре применяется во всех отраслях науки и техники, при этом наибольшее распространение получили регуляторы, содержащие пропорциональный, дифференцирующий и интегрирующий тракт, называемые ПИД-регуляторами. Множество предпринимали попытки авторов модифицирования структур ПИД-регуляторов в расчете на новизну, обоснованную лучшей эффективностью. Одно из таких направлений состоит в использовании нецелого показателя степени в дифференциальном регулятора, что соответствует неполному интегрированию и (или) дифференцированию [1-6]. Суть так называемого регулятора с интегрирования и (или) дробным порядком $(\Pi \mathbf{U}^{\lambda} \mathbf{J}^{\mu}$ -регулятора) дифференцирования заключается в двух шагах: а) утверждается и показывается на примерах, что использование нецелой степени интегрирования и (или) дает дифференцирования положительный эффект (по крайней мере, в ряде задач); б) утверждается, что в рамках наперед заданной точности регулятор по предыдущему пункту реализован использующей лишь целую интегрирования и дифференцирования. Даны рекомендации по такой аппроксимации.

Такое решение делает актуальным решение

ряда вопросов.

- 1. Поскольку аппроксимация тем точнее, чем сложнее регулятор, следует определить, какой погрешностью точности достаточно при этом ограничиться, то есть какая сложность регулятора достаточна.
- 2. Насколько оправданы выводы по результатам сравнения эффективности сложных структур регуляторов с эффективностью ПИД-регуляторов? Может оказаться, что численная оптимизация параметров этих сложных структур обеспечить лучшие регуляторы, чем метод, основанный на приблизительной реализации фрактальных регуляторов.
- 3. Нельзя ли упростить указанные сложные структуры не на основе критерия малой погрешности аппроксимации, а на основе критерия достижения целей синтеза регулятора?

Действительно, предлагаемые регуляторы содержат сложные структуры, число числовых параметров в которых варьируется от 6 до 12 и более. ПИД-регуляторы содержат лишь три параметра. Если численных введение дополнительных структур новыми параметрами позволяет обеспечить лучшее качество управления, то имеются основания предполагать, что последовательное увеличение числа параметров регулятора от 3 до 6 в некоторых структурах может позволить постепенно увеличивать качество регулятора и расширять его возможности при движении от регулятора с тремя параметрами к регулятору, например, с десятью параметрами.

І. ФОРМИРОВАНИЕ ΠИ^λД^μ-РЕГУЛЯТОРА

 $\Pi U^{\lambda} \Pi^{\mu}$ -регулятор предлагается формировать в форме аппроксимации рациональной передаточной функцией [3–4] в виде:

$$C(s) = K_P (1 + \frac{1}{T_I s^{\lambda}} + T_D s^{\mu}), \tag{1}$$

где K_P коэффициент пропорционального тракта, T_I параметр звена интегрирования, T_D коэффициент дифференцирующего звена, λ порядок интегратора, такой, что $0 < \lambda < 1$, μ порядок дифференциатора, такой, что $0 < \mu < 1$, s — аргумент в преобразовании Лапласа или

² Работа выполнена по заданию Министерства образования и науки РФ, проект №7.599.2011, Темплан, НИР № 01201255056.

символическая запись операции дифференцирования в случае использования дифференциальных уравнений. Параметры регулятора K_P , T_I , T_D в [5] предлагается определять с помощью метода Зигеля—Николса [4]. Этот выбор явно не оптимален, поскольку этот метод не самый эффективный для достижения наилучшего качества управления.

Тракт интегрирования $\Pi U^{\lambda} \Pi^{\mu}$ -регулятора описывается в области частот следующей передаточной функцией:

$$C_I(s) = \frac{1}{s^{\lambda}} , \qquad (2)$$

В диапазоне частот [ω_L , ω_H], дробно-степенной интегратор может быть смоделирован функцией, представленной следующим образом:

$$C_{I}(s) = \frac{K_{I}}{\left(1 + \frac{s}{\omega_{C}}\right)^{\lambda}},\tag{3}$$

так как при больших частотах единицей в знаменателе (3) можно пренебречь:

$$C_I(s) = \frac{K_I}{\left(\frac{s}{\omega_C}\right)^{\lambda}} = \frac{1}{s^{\lambda}} , \qquad (4)$$

 $K_I = (1/\omega_c)^{\lambda}$ и ω_c является угловой частотой среза, таким образом, что $\omega_c = 0.1\omega_L$.

В [5] предполагается далее аппроксимация дробно-степенного интегратора (4) в диапазоне частот $[\omega_L, \omega_H]$ рациональной функцией следующего вида:

$$C_{I}(s) = \frac{1}{s^{\lambda}} \approx K_{I} \frac{\prod_{i=0}^{N-1} (1 + s/z_{i})}{\prod_{i=0}^{N} (1 + s/p_{i})}.$$
 (5)

Для вычисления параметров аппроксимации в [5] предлагается методика.

II. ДЕМОНСТРАЦИОННЫЙ ПРИМЕР II. 1. Задача и ее решение описанным методом

Чтобы продемонстрировать применение предложенного подхода, рассмотрим традиционную структуру системы управления с обратной связью. Объект управления представляется передаточной функцией:

$$W_o(s) = \frac{1}{s(1+2s)}e^{-s}. (6)$$

Регулятор C(s) формируется в виде (1). Сначала параметры λ и μ принимаются равными 1, что означает, что $\Pi U^{\lambda} \Pi^{\mu}$ -регулятор принимает вид классического $\Pi U \Pi$ -регулятора. Применяя настраивающий метод Зигеля-Николса, находим параметры классического

ПИД-регулятора K_P , T_I и T_D , а именно: $K_P=0.444,\ T_I=6.0,\ T_D=1.5.$ Используем эти же коэффициенты для обобщенного $\Pi U^{\lambda} \Pi^{\mu}$ -регулятора, получим:

$$C(s) = 0.444(1 + \frac{1}{6s^{\lambda}} + 1.5s^{\mu}).$$
 (7)

Параметры $\Pi M^{\lambda} \Pi^{\mu}$ -регулятора λ и μ взяты из статьи [5] и равны соответственно 0.06 и 0.95:

$$C(s) = 0.444(1 + \frac{1}{6s^{0.06}} + 1.5s^{0.95}).$$
 (8)

Рациональное приближение функции иррационального $\Pi U^{\lambda} \Pi^{\mu}$ -регулятора дается соотношением:

$$C(s) = K_P \left(1 + \frac{1}{T_I s^{\lambda}} + T_D S^{\mu}\right) \approx$$

$$\left(K_I \prod_{j=1}^{N_I - 1} (1 + s/z_{Ii}) \prod_{j=1}^{N_D} (1 + s/z_{Ii})\right)$$

$$\approx K_{P} \left(1 + \frac{K_{I} \prod_{i=0}^{N_{I}-1} (1 + s/z_{I_{i}})}{T_{I} \prod_{l=0}^{N_{I}} (1 + s/p_{I_{l}})} + T_{D} K_{D} \prod_{i=0}^{N_{D}} (1 + s/z_{D_{i}}) \right)$$

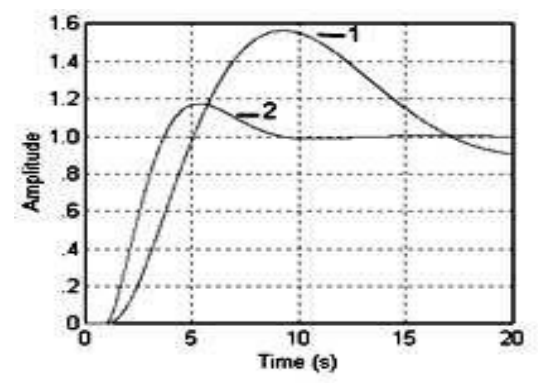
$$(9)$$

Здесь $K_{\rm P} = 0,444$; $K_{\rm I}/T_{\rm I} = 0,2335$; $K_{\rm D}T_{\rm D} = 0,007$; $z_{\rm Ii} = 0,0182(21,3676)^{\rm i}$; $z_{\rm Di} = 0,0152(21,3676)^{\rm i}$; $z_{\rm Di} = 0,0048(1438,4498)^{\rm i}$; $p_{\rm Di} = 4,3308(1438,4498)^{\rm i}$.

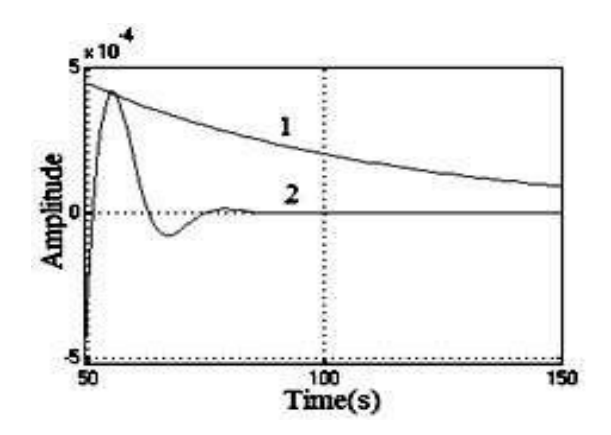
На рис. 1 показана реакция системы управления с обратной связью, когда C(s)является классическим ПИД-регулятором и когда C(s) является $\Pi U^{\lambda} \Pi^{\mu}$ -регулятором в его рациональной форме. На рис. 2. приведены графики статической ошибки (отсчет начат через 50 c после начала процесса). На puc. 3приведена структура для моделирования регулятора по соотношению (9), а на рис. 4 соответствующие переходные процессы при единичном ступенчатом скачке задания. При этом на рис. З и 4 верхней структуре и процессу с наибольшим перерегулирование (более 50%) соответствует система с ПИД-регулятором $(\mu = \lambda = 1)$, средней структуре и процессу со средним перерегулированием (менее 20%) соответствует система с регулятором по уравнению (9). Нижняя структура и график с наименьшим перерегулированием но наиболее медленно затущающей ошибкой иллюстрирует ПИД-регулятор, в дифференцирующий тракт которого введена передаточная функция с параметрами, найденными эмпирическим путем.

II. 2. Исследование возможностей альтернативного метода синтеза регулятора

Как можно увидеть из рассмотренного примера, рациональная форма $\Pi U^{\lambda} \Pi^{\mu}$ -регулятора имеет очень сложную структуру.



Puc. 1. Реакция системы управления на единичное входное воздействие с классическим ПИД-регулятором (1) и ПИ $^{\lambda}$ Д $^{\mu}$ -регулятором в его рациональной форме (2)



Puc .2. Остаточная статическая ошибка (через 50 c) системы с классическим ПИД-регулятором (2) и ПИ 2 Д $^{\mu}$ -регулятором в его рациональной форме (9)

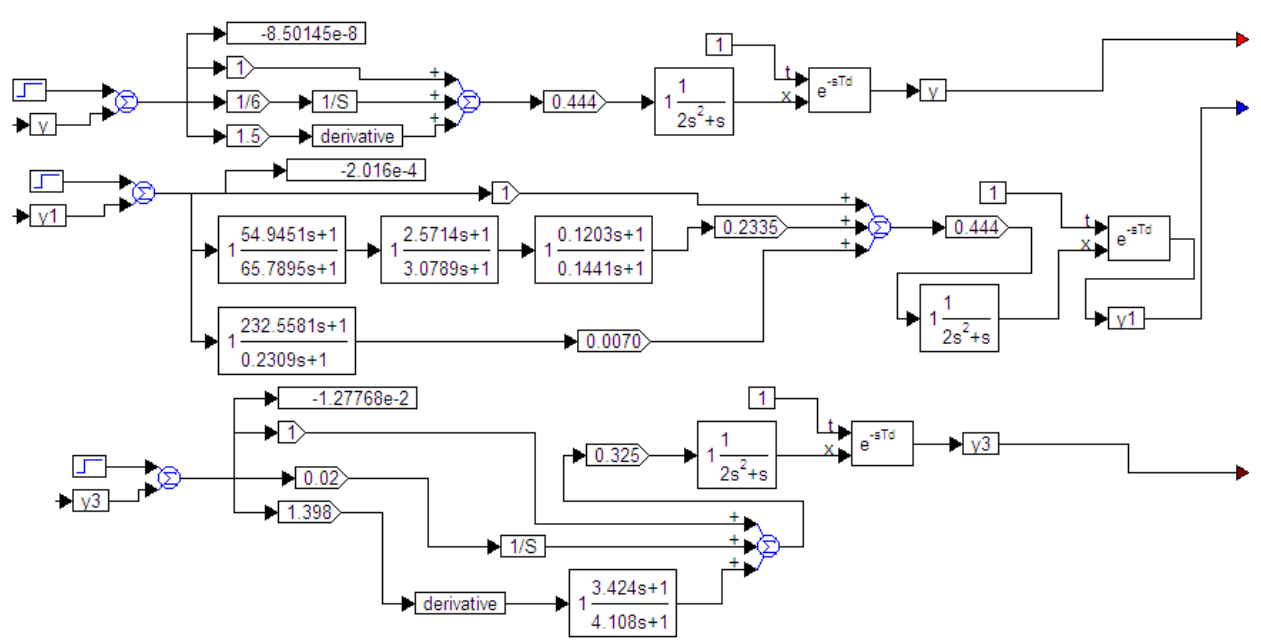
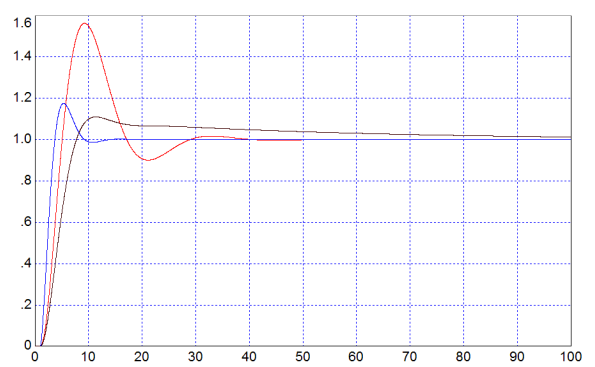


Рис. 3 Структура для моделирования регулятора по соотношению (9) при моделировании в VisSim

Можно предположить, что между сложной структурой вида (9) и простейшей структурой, в которую переходит структура (9) при $\mu = \lambda = 1$, существуют промежуточные по сложности формы регулятора, позволяющие получить качество регулирования лучше, чем с ПИД-регулятором, пусть даже будет хуже, чем с регулятором (9).

Если же ЭТИМИ промежуточными структурами получится достигнуть соизмеримого или лучшего качества, чем со структурами вида (9), то результат по всем параметрам превзойдет результат, получаемый методом, предлагаемым в анализируемой серии статей. Обоснованность надежд на лучшие состоит TOM, результаты В проанализированной методике коэффициенты регулятора рассчитываются по далеко не идеальной методике И реализуется приблизительно.



 $Puc.\ 4$. Соответствующие переходные процессы при единичном ступенчатом скачке задания в структуре по $puc.\ 3$

На *puc*. 5 показана схема моделирования системы по уравнению (9). Модельный анализ показал, что тракт, содержащий три последовательно включенные передаточные функции (средний на *puc*. 5), не оказывает существенного влияния на свойства системы, причем его наличие увеличивает

перерегулирование вдвое. Эта ситуация совершенно естественна, поскольку в объекте содержится интегратор, на что указывает отсутствие свободного члена в знаменателе его передаточной функции. Это дает основание устранить этот тракт из регулятора, чем достигается существенное его упрощение без системы. качества ухудшения Поэтому альтернативный регулятор отыскивается классе ПД-регуляторов или их модификации.

Предлагается использовать дробнорациональный ПД-регулятор со структурой следующего вида:

$$W_R(s) = K_1 + K_2 \frac{as+1}{bs+1}.$$
 (10)

Параметры регулятора предлагается найти методом оптимизации в приложении *VisSim*5.0 Целевую функцию зададим в виде:

$$\Psi = \int_{0}^{T} |e(t)| t dt.$$
 (11)

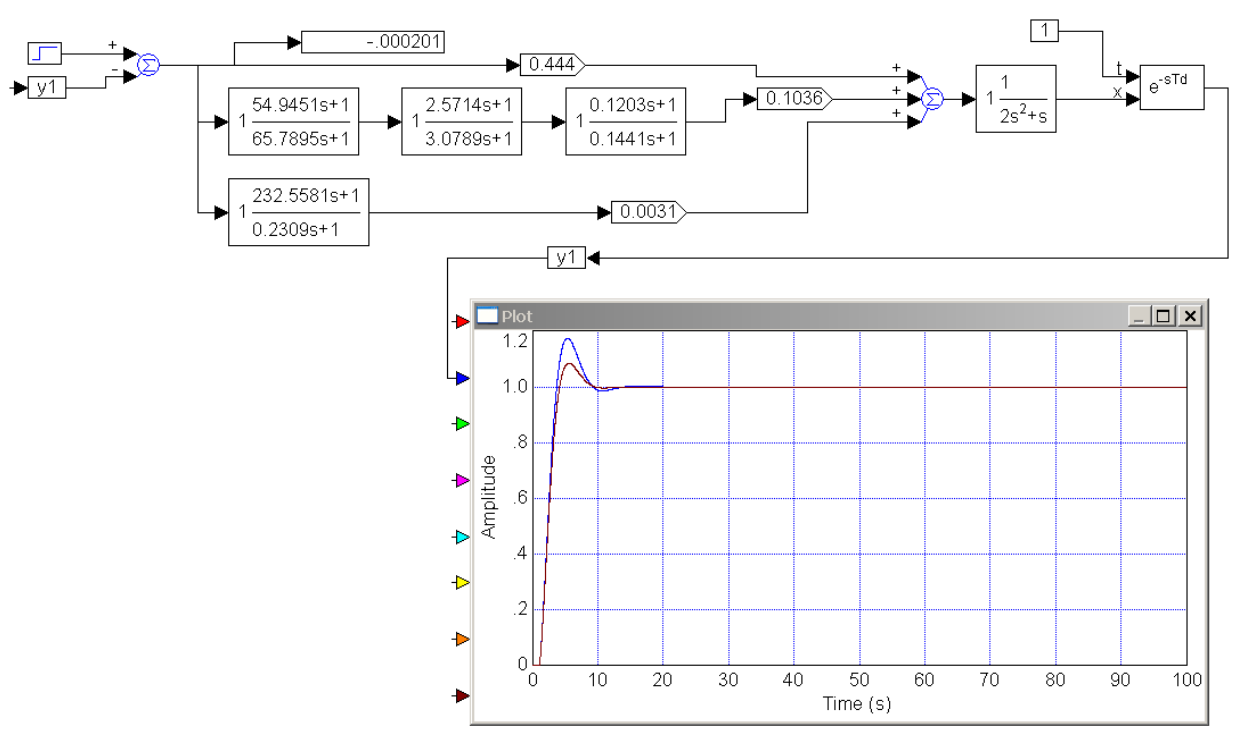
Рассмотрим передаточную функцию вида

$$W_2(s) = \frac{as+1}{bs+1}. (12)$$

Программное обеспечение VisSim не позволяет напрямую оптимизировать параметры а и b, поэтому функцию (12) следует привести к виду, более удобному для оптимизации, то есть с использованием коэффициентов, которые задаются внешними параметрами

Для этой цели обозначим входной сигнал x, выходной – z, и $W_2(s) = z(s) / x(s)$. Отсюда путем несложных преобразований получим:

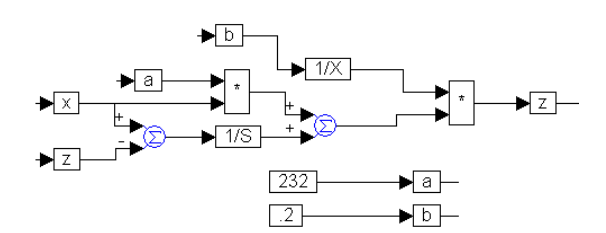
$$z(s) = 1/b\{ax(s) + 1/s[-z(s) + x(s)]\}.$$
 (13)



Puc. 5. Результаты моделирования, которые иллюстрируют, что средняя связь не слишком нужна, или вовсе не нужна. Процесс при наличии этой связи имеет несколько большее перерегулирование

На puc. 6 показана структура, обеспечивающая моделирование передаточной функции по уравнению (13). Для корректности деления необходимо исключить нулевое значение параметра b, что может быть обеспечено использованием ограничителя. На puc. 7 показана структура регулятора с использованием такой передаточной функции.

После того, как мы обеспечили внешнее управление коэффициентами передаточной функции, их можно оптимизировать в программе *VisSim* по критерию (11). По переходному процессу, показанному на *рис*. 7, видно, что он существенно лучше, чем процесс, показанный на *рис*. 5.



Puc. 6. Структура для моделирования передаточной функции вида (13)

А именно: перерегулирование снижено от 3–8% до 1%, установившаяся ошибка снижена от $2 \cdot 10^{-4}$ до $8,77 \cdot 10^{-15}$. Поскольку весь переходный процесс занимает около 10 с, моделирование на протяжении 100 с нецелесообразно. После уменьшения этого времени до 50 с и повторной

оптимизации получены новые численные коэффициенты регулятора, при которых установившееся значение за это половинное время принимает значение $2,56 \cdot 10^{-10}$. Этот регулятора, регулятор намного проще рассчитанного по процедуре, предложенной в позволяет [4]. Хотя теория предсказать

отсутствие потребности в интегрирующем тракте, этот вопрос можно исследовать путем численной оптимизации. С этой целью достаточно добавить интегральный тракт и структуру для оптимизации его коэффициента, как показано на *puc*. 8.

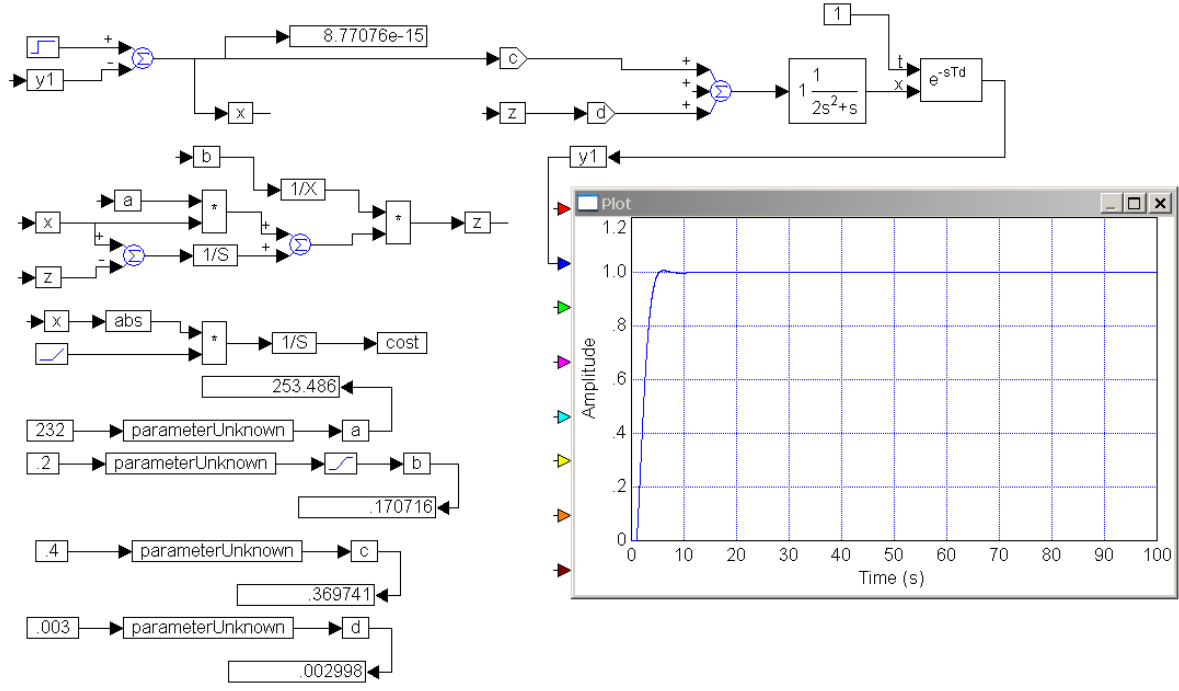


Рис. 7. Структура для оптимизации параметров регулятора и полученный результат

На *puc*. 9 показаны результаты оптимизации регулятора: окончательные значения коэффициентов записаны в блоках числовых

мониторов на выходах оптимизируемых переменных.

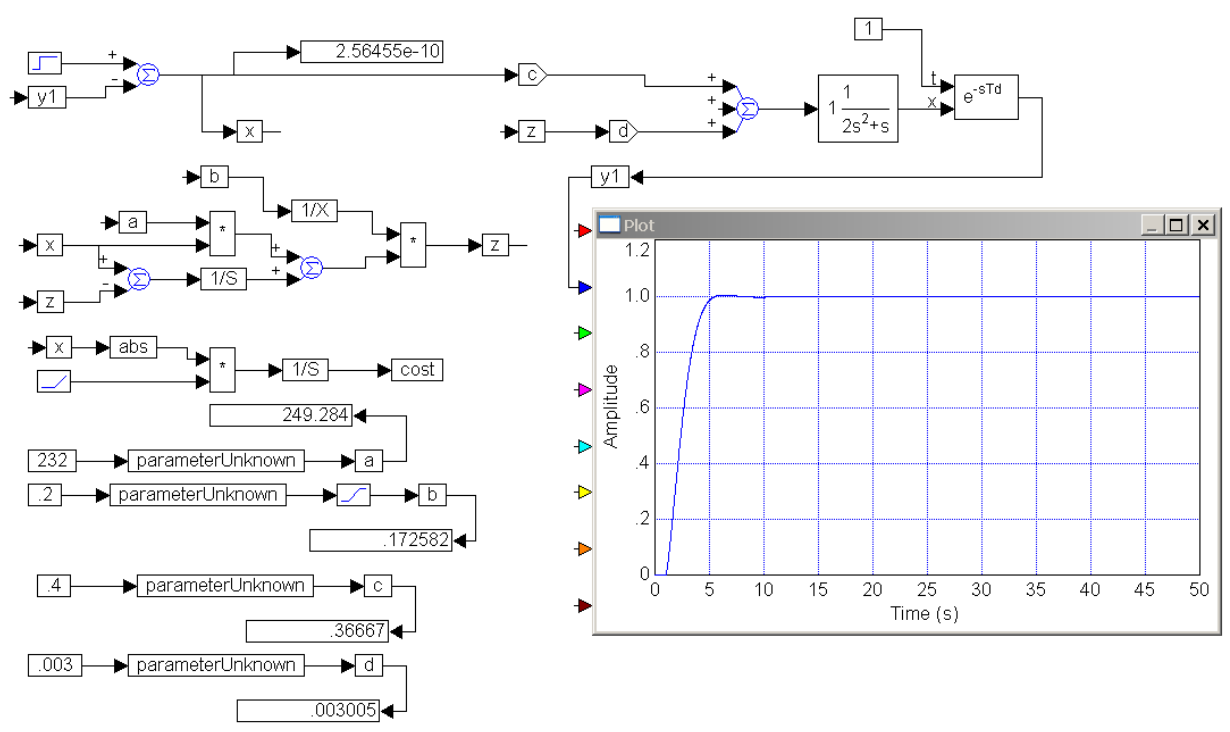


Рис. 8. То же при уменьшении времени интегрирования вдвое

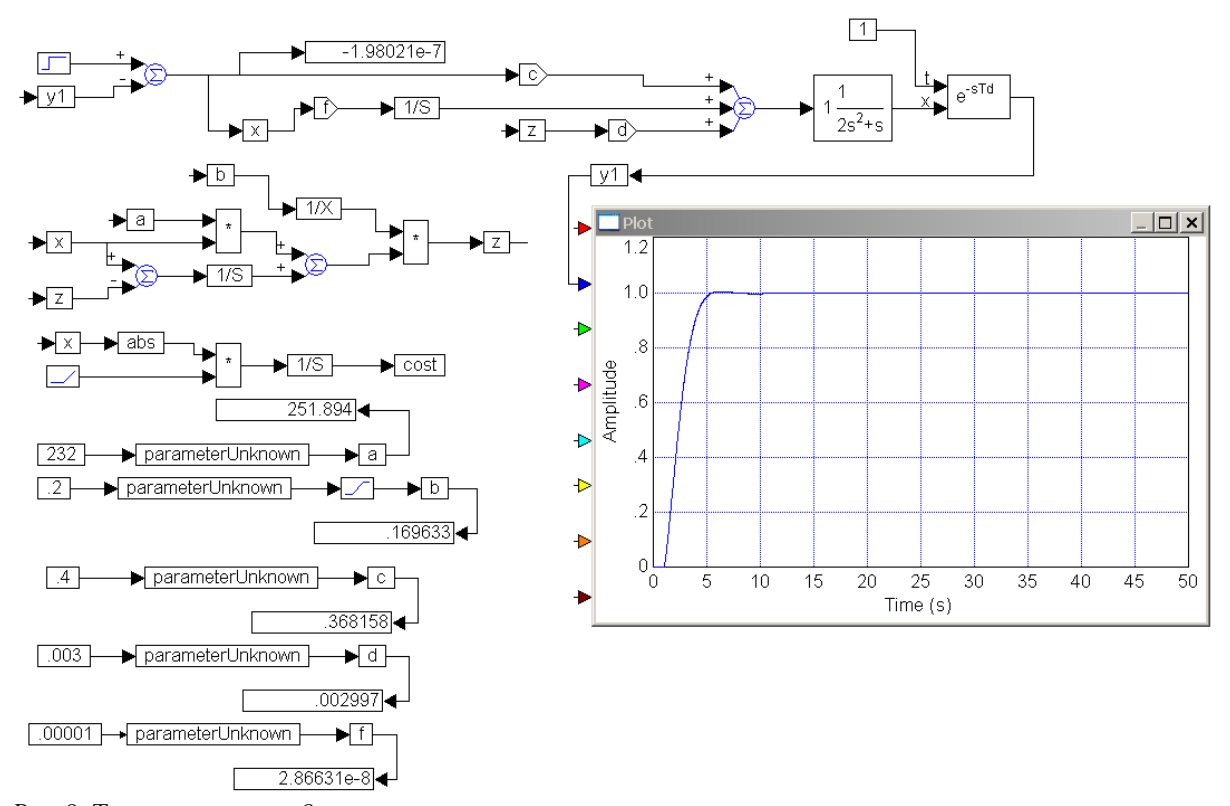


Рис. 9. То же, что на рис. 8, с введением интегратора

Результирующий коэффициент интегрального тракта (обозначен переменной f) чрезвычайно мал: $K_I = 2,866 \cdot 10^{-8}$. Признак того, что интегратор в регуляторе с данным объектом не требуется, содержится и в изменении целевой функции: после его введения она изменилась не существенно, от 0,172 до 0,169.

По результатам оптимизации можно рекомендовать регулятор, который рассчитан в структуре, показанной на рис. 9, но его реализация может быть осуществлена в более простой структуре, поскольку уравнения (13) описывает передаточную функцию из уравнения (10).

Результат синтеза регулятора, таким образом, дается следующим уравнением (10), где $K_1 = 0.368$; $K_2 = 0.003$; a = 252; b = 0.17 (значения, рассчитанные в структуре puc. 11, округлены). Полученный результат можно еще упростить, приведя слагаемые к общему знаменателю и осуществив сложение. По виду переходных процессов и по формальным показателям (перерегулирование, установившаяся ошибка) Видно, что указанный регулятор намного проще и намного эффективнее, чем регулятор, предложенный в статье [4].

ЗАКЛЮЧЕНИЕ

Таким образом, моделирование и численная оптимизация продемонстрировали, что этим путем можно синтезировать более простые регуляторы, обеспечивающие лучшую точность и более качественные переходные процессы

(следовательно, и лучшую динамическую точность), чем регуляторы, предложенные в работе [4]. В итоге достигнуто как упрощение регулятора, так и его улучшение. Примененная методика апробирована и ранее на многих других задачах синтеза, хотя демонстрация ее эффективности не всегда была столь наглядна [7–9].

ЛИТЕРАТУРА

- [1] Chen, Y.Q., Vinagre, B.M. and Monje, C.A. A Proposition for the Implementation of Non-integer PI Controllers. The Thematic Action 'Systems with Non-integer Derivations' LAP-ENSEIRB, Bordeaux, France, 2003.
- [2] Leu, J.F., Tsay, S.Y. and Hwang, C. Design of Optimal Fractional Order PID Controllers. Journal of the Chinese Institute of Chemical Engineers 33:2, 2002.
- [3] *Podlubny, I.* Fractional Order Systems and $PI^{\lambda}D^{\mu}$ Controllers. IEEE Transactions on Automatic Control 44:1, 1999, pp. 208-214.
- [4] Bettoua, K. and Charef, A. Control quality enhancement using fractional $PI^{\lambda}D^{\mu}$ controller. International Journal of Systems Science Vol. 40, No. 8, 2009, pp. 875-888.
- [5] Ziegler, J.G and Nichols, N.B. Optimum Settings for Automatic Controllers. Transactions of the ASME 64, 1942, pp. 759-768.
- [6] Заворин А.Н., Ядрышников О.Д., Жмудь В.А. Усовершенствование качественных характеристик систем управления с обратной связью при использовании $\Pi M^2 \Pi^2$ -регулятора. Сборник научных трудов НГТУ. Новосибирск. 2010. 4 (62). С.41 50.
- [7] Воевода А.А., Жиудь В.А., А.Н. Заворин, О.Д. Ядрышников. Сравнительный анализ методов оптимизации регуляторов с использованием программных средств VisSim и MATLAB //

Мехатроника, автоматизация и управление. № 9, 2012. с. 37 - 43.

[8] Синтез робастного регулятора методом двойной итеративной параллельной численной оптимизации / Б. В. Поллер, В. А. Жмудь, С. П. Новицкий, А. Н. Заворин, О. Д. Ядрышников // Научный вестник НГТУ. - 2012. - № 2 . — С 196 -200.

[9] Метод проектирования адаптивных систем для управления нестационарными объектами с запаздыванием. / В. А. Жмудь, А.Н. Заворин, Полищук А.В., О. Д. Ядрышников // Научный вестник НГТУ. - 2012. - №3.



Вадим Жмудь — заведующий кафедрой Автоматики в НГТУ, профессор, доктор технических наук, автор 200 научных статей., главный научный сотрудник Института лазерной физики СО РАН. Область научных интересов и компетенций — теория автоматического управления, электроника, измерительная техника.



Е-mail: oao nips@bk.ru
Александр Заворин, аспирант кафедры Автоматики НГТУ, автор более 10 научных статей. Область научных интересов и компетенций – теория автоматического управления, оптимальные и адаптивные системы, оптимизация, многоканальные системы.

E-mail: pisatel1987@mail.ru